

А. Н. Григорьев<sup>1</sup>, З. В. Билик<sup>1</sup>,  
Ю. В. Литвинов<sup>2</sup>, А. В. Сакун<sup>1</sup>,  
В. В. Марущенко<sup>1</sup>, О. Ю. Чернявский<sup>1</sup>

<sup>1</sup>Гвардейский ордена Красной Звезды факультет военной подготовки имени Верховного Совета Украины Национального технического университета «Харьковский политехнический институт», г. Харьков, Украина

<sup>2</sup>Харьковский национальный педагогический университет имени Г. С. Сковороды, г. Харьков, Украина

## Эффект увеличения комптоновского рассеяния гамма-квантов при прохождении их вдоль металлической поверхности

Экспериментально исследовано изменение энергии источника  $\gamma$ -излучения  $^{137}\text{Cs}$  при прохождении  $\gamma$ -излучения вдоль поверхности металла. Обнаружено уменьшение энергии  $\gamma$ -излучения источника  $^{137}\text{Cs}$  при ориентации пучка  $\gamma$ -квантов параллельно металлической поверхности в диапазоне углов 0–1,66° относительно прямой, проходящей через детектор – металлическую поверхность – источник  $\gamma$ -квантов. Уменьшение энергии  $\gamma$ -излучения наблюдали по уменьшению количества зарегистрированных  $\gamma$ -квантов в пике полного поглощения до уровня комптоновской долины и увеличению комптоновского эффекта. Количество зарегистрированных гамма-квантов в пике полного поглощения уменьшается в указанном диапазоне углов в 3,5 раза.

**Ключевые слова:**  $\gamma$ -квант, поверхность металла, комптон-эффект.

О. М. Григор'єв, З. В. Білик, Ю. В. Литвинов, О. В. Сакун,  
В. В. Марущенко, О. Ю. Чернявський

**Ефект збільшення комптонівського розсіювання гамма-квантів під час проходження їх вздовж металевої поверхні**

Експериментально досліджено змінення енергії джерела  $\gamma$ -випромінювання  $^{137}\text{Cs}$  під час проходження  $\gamma$ -випромінювання вздовж поверхні металу. Виявлено зменшення енергії  $\gamma$ -випромінювання джерела  $^{137}\text{Cs}$  в разі орієнтації пучка  $\gamma$ -квантів паралельно металевій поверхні в діапазоні кутів 0–1,66° відносно прямої, що проходить крізь детектор – поверхню металу – джерело  $\gamma$ -квантів. Зменшення енергії  $\gamma$ -випромінювання спостерігали по зменшенню кількості  $\gamma$ -квантів, що зареєстровані, в піку повного поглинання до рівня комптонівської долини та збільшенню комптон-ефекту. Кількість зареєстрованих гамма-квантів у піку повного поглинання у вказаному діапазоні кутів зменшується в 3,5 раза.

**Ключові слова:**  $\gamma$ -квант, поверхня металу, комптон-ефект.

© А. Н. Григорьев, З. В. Билик, Ю. В. Литвинов, А. В. Сакун,  
В. В. Марущенко, О. Ю. Чернявский, 2014

**C** участием авторов статьи [1] разработан метод, который обеспечивает прецизионное определение направления на источник  $\gamma$ -излучения в плоскости в диапазоне углов  $2\pi$  радиан с ошибкой 0,044° [2] при использовании металлической поверхности поглотителя. Эксперимент показал уменьшение пика полного поглощения до уровня долины между краем комптоновского рассеяния и пиком полного поглощения при прохождении  $\gamma$ -излучения вблизи металлической поверхности.

При анализе литературы авторы не нашли описания подобного эффекта. Можно было бы отнести данное явление к уменьшению интенсивности пучка  $\gamma$ -квантов из-за его отражения, но диапазон углов, при которых оно наблюдается, значительно шире. Авторы работ [3–6] показали, что полное внешнее отражение происходит при углах падения  $\gamma$ -излучения к поверхности не более 0°–0,015° для энергии 122 кэВ  $^{57}\text{Co}$  [4], 0°–0,0095° для энергии 122–300 кэВ [5], 0°–0,0086° для энергии 300–800 кэВ [6], а для энергии 0,8–5 МэВ этот угол не должен превышать тысячных долей градуса [3]. Таким образом, диапазон углов, при которых наблюдается полное внешнее отражение, уменьшается до тысячных долей градуса при увеличении энергии  $\gamma$ -квантов. Кроме того, отражающая поверхность должна быть идеально гладкой, ее шероховатость достигает 500 Å [5]. В проведенном же эксперименте уменьшение энергии  $\gamma$ -квантов наблюдается в диапазоне углов не менее чем 0–1,1°. Об отсутствии отражения  $\gamma$ -излучения свидетельствует и отсутствие уменьшения интенсивности пучка  $\gamma$ -квантов. Интенсивность пучка  $\gamma$ -квантов изменяется пропорционально изменению толщины поглотителя (см. рис. 6). Внешняя поверхность поглотителя изготовлена из медной катаной фольги без дополнительной обработки.

Цель статьи – исследовать взаимодействие  $\gamma$ -квантов с веществом на границе раздела металл – воздух и использовать уменьшение пика полного поглощения для повышения точности определения направления на точечный источник  $\gamma$ -излучения.

Для проведения эксперимента по исследованию эффекта увеличения комптоновского рассеяния  $\gamma$ -квантов при прохождении их вдоль металлической поверхности использован асимметрический поглотитель [1], расположенный на угломерном устройстве (рис. 1). Внутренняя сторона геометрической формы асимметрического поглотителя (рис. 2) является цилиндром с диаметром 70 мм, а наружная задается

формулой  $h = c + \frac{ba}{360}$ , где  $c$  – заданная константа, которая определяет минимальную толщину поглотителя (в данном случае  $c = 3$  мм);  $b$  – заданная константа, которая определяет максимальную толщину поглотителя (в данном случае  $b = 50$  мм);  $\alpha$  – угол в диапазоне от 0° до 360°.

Поглотитель выполнен из полосы меди высотой 40 мм, толщиной 0,1 мм и заполнен свинцовыми шариками диаметром 3,75 мм. В центре поглотителя размещен спектрометрический телурид-cadmiевый детектор размером 4×4×2 мм [7]. Торцевая поверхность детектора перпендикулярна направлению пучка  $\gamma$ -квантов и вектору силы тяжести. Плоская поверхность детектора находится на продолжении условной линии, проведенной в плоскости максимальной толщины асимметрического поглотителя (рис. 2).

В эксперименте использовался источник  $\gamma$ -излучения  $^{137}\text{Cs}$ , изготовленный в 1986 году, активностью  $A = 2,064 \cdot 10^9$  Бк ко времени проведения эксперимента. Диаметр активной части источника 6 мм, высота – 10 мм. Содержание изотопа



Рис. 1. Установка для проведения эксперимента по изучению эффекта увеличения комптоновского рассеяния  $\gamma$ -квантов при прохождении их вдоль металлической поверхности

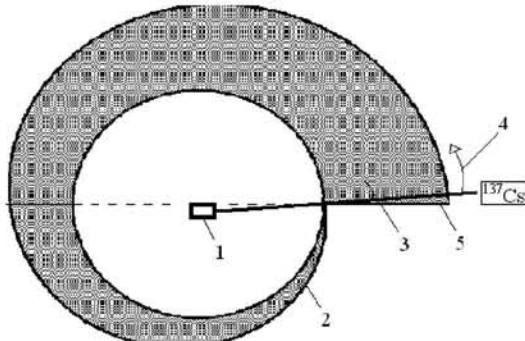


Рис. 2. Расположение детектора в асимметрическом поглотителе:

1 — телурид-кадмиеевый детектор; 2 — медный каркас;  
3 — свинцовые шарики; 4 — стрелка, указывающая направление  
поворота асимметрического поглотителя от первоначального  
положения; 5 — металлическая поверхность поглотителя

$^{134}\text{Cs}$  в источнике на дату изготовления — 1,6 %. Расстояние до источника  $^{137}\text{Cs}$  — 50 см. Исходя из размеров радиоактивного источника, детектора и расстояния между ними следует, что источник точечный. Асимметрический поглотитель облучался  $\gamma$ -излучением равномерно, что подтверждено измерением мощности экспозиционной дозы на расстоянии 25 см от него во все стороны. Дискриминация энергии устанавливалась на уровне 100 кэВ. Полуширина пика полного поглощения составляла 15 %. За каждое измерение набирали не менее 10 000 импульсов, что соответствовало статистической ошибке не более 1 %.

Асимметрический поглотитель поворачивался с шагом 0,138° микровинтом от начального положения, которое показано на рис. 2 сплошной линией, от источника  $^{137}\text{Cs}$  на детектор. Показания угла перемещения фиксировали индикатором часового типа, диапазон измерений углов которого в условиях эксперимента составляет 5°.

В начале измерений  $\gamma$ -излучение направляли через максимальную толщину поглотителя. На анализаторе импульсов фиксировалась пик полного поглощения и часть спектра комптоновского рассеяния (рис. 3).

Далее, вращая асимметрический поглотитель в сторону уменьшения его толщины, наблюдали уменьшение площа-

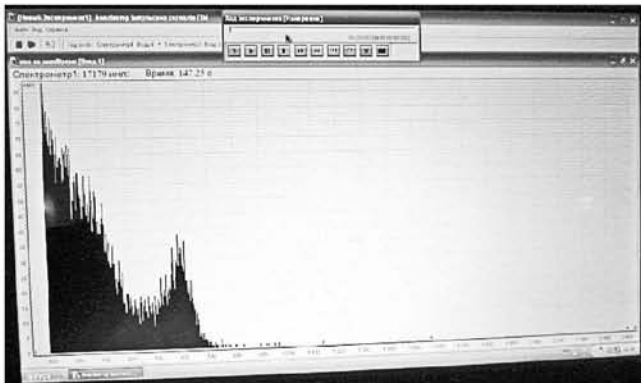


Рис. 3. Пик полного поглощения при прохождении  $\gamma$ -квантов через максимальную толщину поглотителя

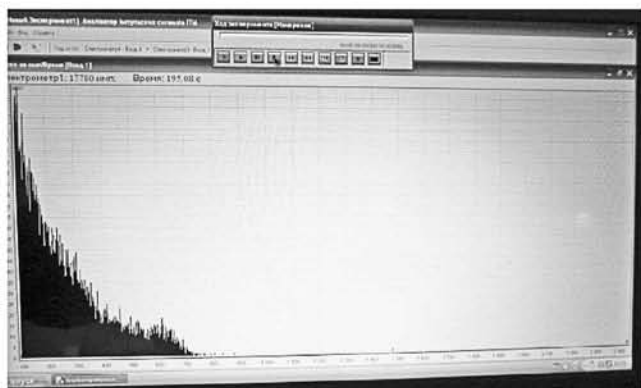


Рис. 4. Уменьшение пика полного поглощения до уровня долины между краем комптоновского рассеяния и пиком полного поглощения, а также возрастание комптоновского рассеяния до области энергии 100 кэВ при прохождении  $\gamma$ -квантов вдоль медной поверхности

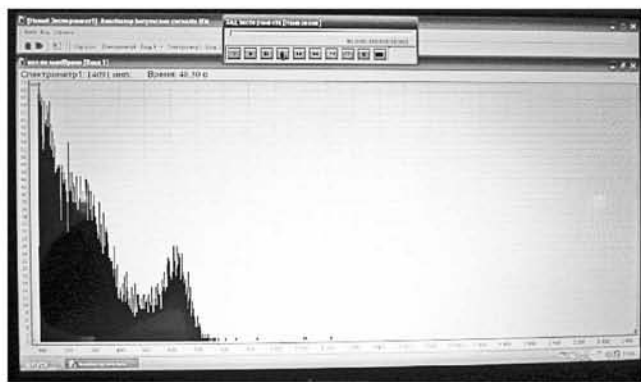


Рис. 5. Пик полного поглощения при прохождении  $\gamma$ -квантов через минимальную толщину поглотителя

тика полного поглощения до уровня долины между краем комптоновского рассеяния и пиком полного поглощения, а также возрастание комптоновского рассеяния до области энергии 100 кэВ (рис. 4). При этом  $\gamma$ -излучение проходило частично через поглотитель и почти параллельно медной поверхности максимальной толщины асимметрического поглотителя.

При дальнейшем перемещении асимметрического поглотителя в сторону уменьшения его толщины наблюдали

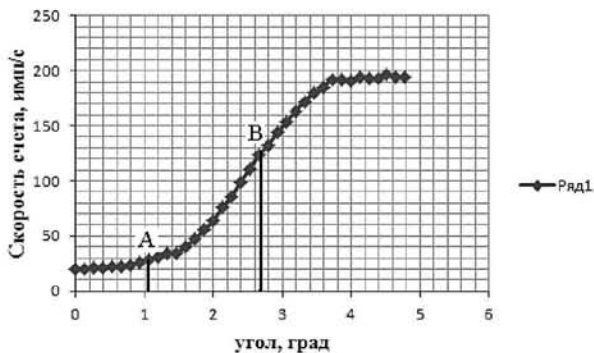


Рис. 6. Залежність швидкості счуття від угла на істочник  $\gamma$ -излучення (A–B – інтервал улов, при яких змінною уменьшується пік повного поглощення)

«восстановлення» пика повного поглощення до величини, характерної для пика повного поглощення при проходженні через максимальну товщину поглотителя (рис. 5).

После проведення серії експериментів определили середній діапазон кутів A–B, рівний  $0^\circ$ – $1,66^\circ$  (угол A =  $1,07^\circ$ , угол B =  $2,73^\circ$ ), в пределах якого було обнаружено зменшення енергії  $\gamma$ -квантов (рис. 6). Кількість зареєстрованих  $\gamma$ -квантов в піку повного поглощення на рис. 3 зменшується відносно рис. 2 в 3,5 раза.

Таким образом, при орієнтації пучка  $\gamma$ -квантов на границі максимальної та мінімальної товщини поглотителя (см. рис. 6) [2] в інтервалі кутів A–B, коли пучок проходить практично паралельно металлическій поверхності, змінною зменшується пік повного поглощення та зростає ефект комптоновського розсіяння. Важливий причиной зменшення пика повного поглощення є ефект виходу теплових електронів з металла та збільшення комптоновського розсіяння на слабо связанных електронах вблизі поверхні металла. Пространственное облако індукованного заряда сплюснуто паралельно поверхності металла [8].

Отметим, что при изучении зависимости скорости счета от угла [1] в диапазоне углов  $1$ – $359^\circ$  наблюдали спектр, подобный изображенному на рис. 3, для любых углов данного диапазона.

## Выводы

При проходженні пучка  $\gamma$ -излучення вблизі поверхності металла набувається підвищення комптоновського розсіяння, що відповідає зменшенню енергії  $\gamma$ -излучення в пределах діапазона кутів  $0^\circ$ – $1,66^\circ$ . В указаному діапазоні кутів кількість зареєстрованих  $\gamma$ -квантов в піку повного поглощення зменшується в 3,5 раза. Даний ефект може дозволити знижувати енергію  $\gamma$ -излучення та збільшувати точність визначення напрямку на точкові джерело  $\gamma$ -излучення.

## Список використаної літератури

1. Прецізійний метод визначення напрямку на точкове гамма-джерело / О. М. Григор'єв, З. В. Білик, О. В. Сакун, В. В. Марущенко // Військово-технічний збірник. — Львів, 2012. — № 7. — С. 25–28.
2. Вимірювання напрямку на джерело гамма-випромінювання в просторі з використанням асиметричного поглинача / З. В. Білик, О. М. Григор'єв, Ю. В. Литвинов, В. В. Марущенко, О. В. Сакун, О. Ю. Чернявський // Современные методы и средства НК и ТД: 21 международная конференция, тезисы докл. — Гурзуф: Укр. информ. центр «Наука. Техника. Технология», 2013. — С. 179–181.
3. An experimental setup for studying specular reflection of hard  $\gamma$  quanta / A. T. Muminov, T. M. Muminov, R. R. Muratov, K. M. Norboev, U. S. Salikhbaev, A. N. Safarov, V. V. Skvorcov, R. D. Suleymanov // Instruments and Experimental Techniques. — Moscow, 2013. — Vol. 56, № 6. — P. 628–633.
4. Моделювання експерименту по повному відбиттю від поверхні тормозного випромінення електронів / Ф. К. Алиев, Г. Р. Алимов, А. Т. Мумінов, Б. С. Османов, В. В. Скворцов // Журнал технической физики. — С.-Пб, 2005. — Т. 75, вып. 8. — С. 90–94.
5. Экспериментальное исследование рассеяния гамма-квантов тормозного излучения электронов ( $E_e = 11,8$  МэВ) на сверхмалых углах / Г. Р. Алимов, М. А. Кумахов, А. Т. Мумінов, Т. М. Мумінов, К. М. Норбоев, Б. С. Османов, У. С. Салихбаев, А. Н. Сафаров, В. В. Скворцов, Р. Д. Сүлейманов // Журнал технической физики. — С.-Пб, 2007. — Т. 77, вып. 9. — С. 123–126.
6. Experimental detection of specular reflection of gamma quanta / A. T. Muminov, T. M. Muminov, K. M. Norboev, B. S. Osmanov, U. S. Salikhbaev, A. N. Safarov, V. V. Skvorcov, R. D. Suleymanov // Technical Physics. — St. Petersburg, 2011. — Vol. 56, № 9. — P. 1345–1352.
7. Полупроводникові детектори на базі CdTe та CdZnTe для спектрометрії електромагнітних випромінень при комінатній температурі / А. Н. Григор'єв, І. Е. Полянський, А. Г. Карав'єв, Т. А. Жадан // Вестник ХГУ. — Харків, 2002. — № 544. — С. 153–155.
8. Zinoviev A. N. Induced charge in ion–metal surface collisions / A. N. Zinoviev // Nuclear Instruments and Methods in Physics Research Section B: Beam Interactions with Materials and Atoms. — 2013. — Vol. 315. — P. 45–50.

## References

1. Hryhor'yev O. M., Bilyk Z. V., Sakun O. V., Marushchenko V. V. Precision determination of the direction of point gamma source // Viys'kovo-tehnichnyi zbirnyk. — 2012. — № 7. — S. 25–28. (Ukr)
2. Bilyk Z. V., Hryhor'yev O. M., Lytvynov Yu. V., Marushchenko V. V., Sakun O. V., Chernyav's'kyi O. Yu. Measuring the direction of the source of gamma rays in space using asymmetric absorber // Modern methods and means NDT: 21 International Conference, Proc. — Gursuf: Ukr. ynfomtsentr «Nauka. Tekhnika. Tekhnolohyya», 2013. — S. 179–181. (Ukr)
3. Muminov A. T., Muminov T. M., Muratov R. R., Norboev K. M., Salikhbaev U. S., Safarov A. N., Skvorcov V. V., Suleymanov R. D. An experimental setup for studying specular reflection of hard  $\gamma$  quanta // Instruments and Experimental Techniques. — 2013. — Vol. 56, № 6. — P. 628–633. (Eng)
4. Aliev F. K., Alimov G. R., Muminov A. T., Osmanov B. S., Skvorcov V. V. Simulation experiment on total external reflection electron bremsstrahlung // Zhurnal tehnicheskoy fiziki. — 2005. — T. 75, вып. 8. — S. 90–94. (Rus)
5. Alimov G. R., Kumakov M. A., Muminov A. T., Muminov T. M., Norboev K. M., Osmanov B. S., Salikhbaev U. S., Safarov A. N., Skvorcov V. V., Suleymanov R. D. Experimental study of scattering of gamma-ray bremsstrahlung of electrons ( $E_e = 11.8$  MeV) for ultrasmall angles // Zhurnal tehnicheskoy fiziki. — 2007. — T. 77, вып. 9. — S. 123–126. (Rus)
6. Muminov A. T., Muminov T. M., Norboev K. M., Osmanov B. S., Salikhbaev U. S., Safarov A. N., Skvorcov V. V., Suleymanov R. D. Experimental detection of specular reflection of gamma quanta // Technical Physics. — 2011. — Vol. 56, № 9. — P. 1345–1352. (Eng)
7. Grigor'ev A. N., Poljanskij I. E., Kareev A. G., Zhadan T. A. Semiconductor detectors based on CdTe and CdZnTe for spectrometry of electromagnetic radiation at room temperature // Vestnik HGU. — 2002. — № 544. — S. 153–155. (Rus)
8. Zinoviev A. N. Induced charge in ion–metal surface collisions // Nuclear Instruments and Methods in Physics Research Section B: Beam Interactions with Materials and Atoms. — 2013. — Vol. 315. — P. 45–50. (Eng)

Получено 06.06.2014.